

MAQUINAS DE PALETAS USADAS EN LOS BARCOS.

(La explicacion al principio del atlas.)

Fig. 288.

De dobles cilindros fijos principales para 400 caballos por MAUDESLEY-HIJOS y FIELD.

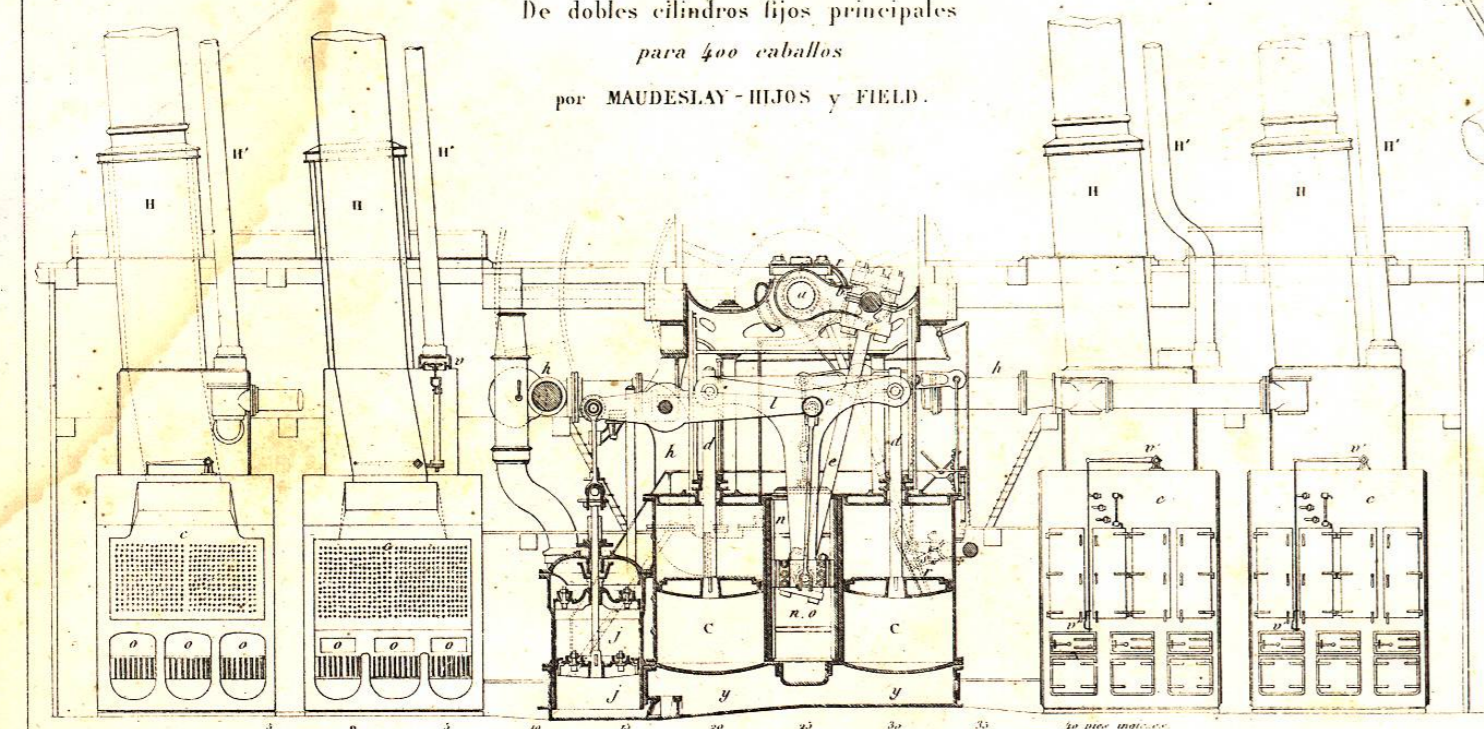


Fig. 289.

De cilindro fijo y balanza

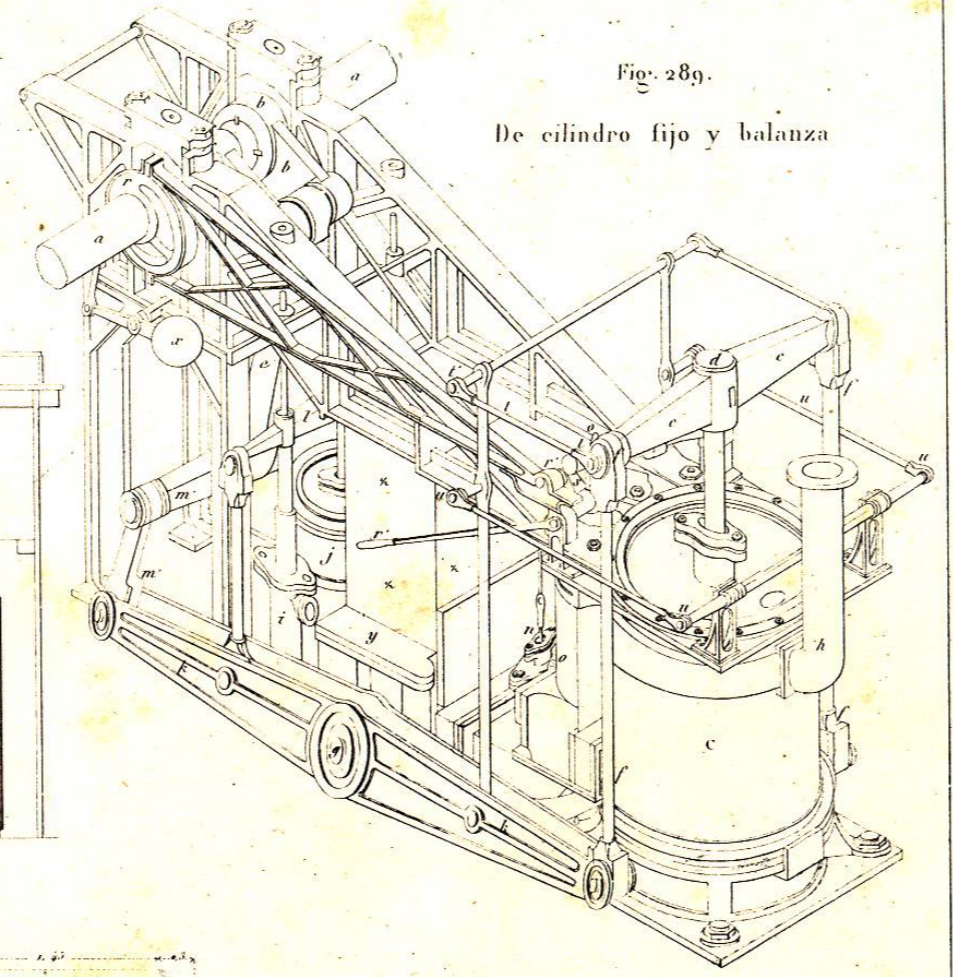


Fig. 290.

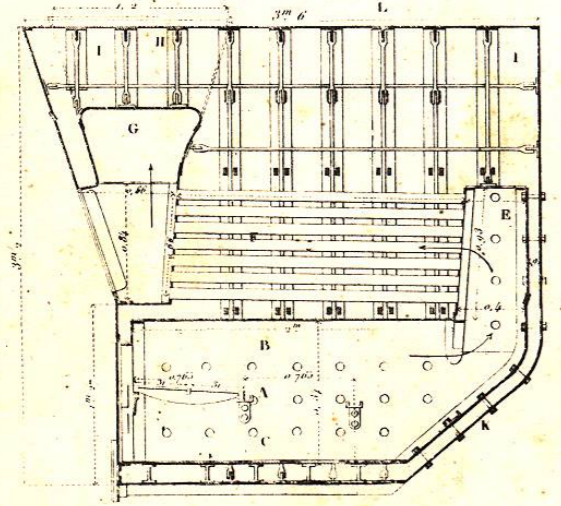


Fig. 291.

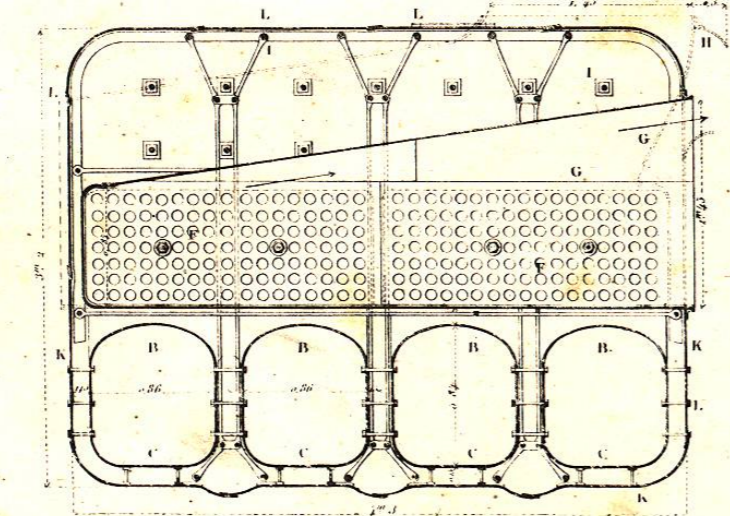


Fig. 292.

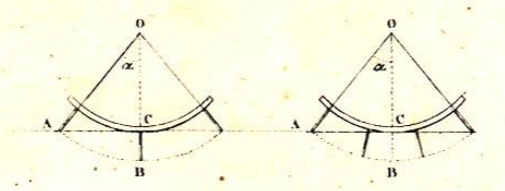


Fig. 293.

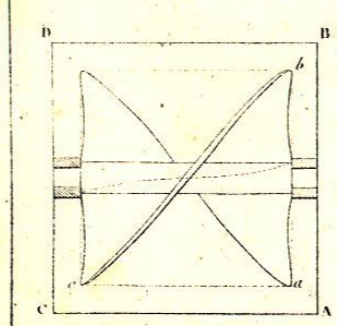


Fig. 294.

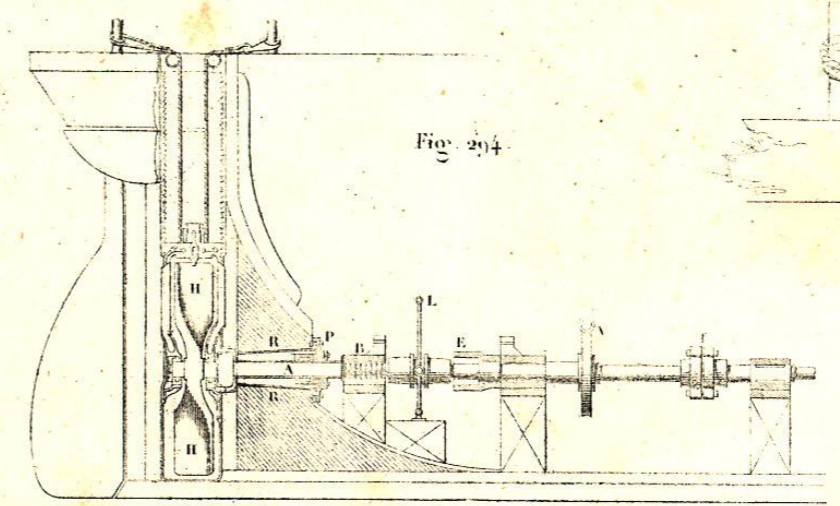


Fig. 297.

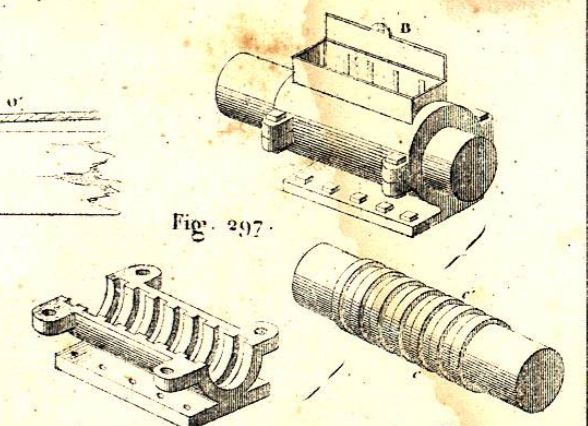


Fig. 294.

Fig. 296.

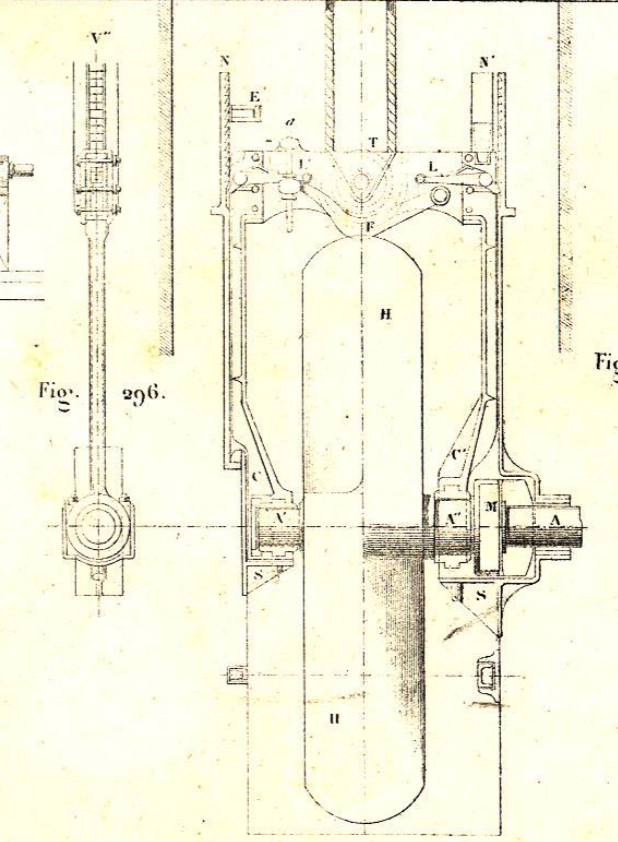


Fig. 298.

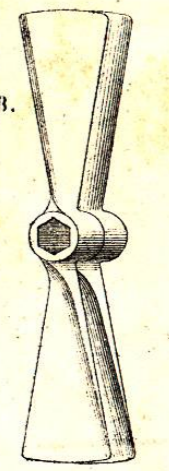


Fig. 299.

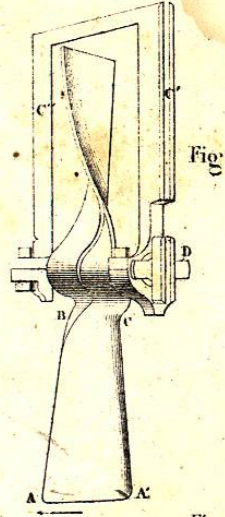


Fig. 300.

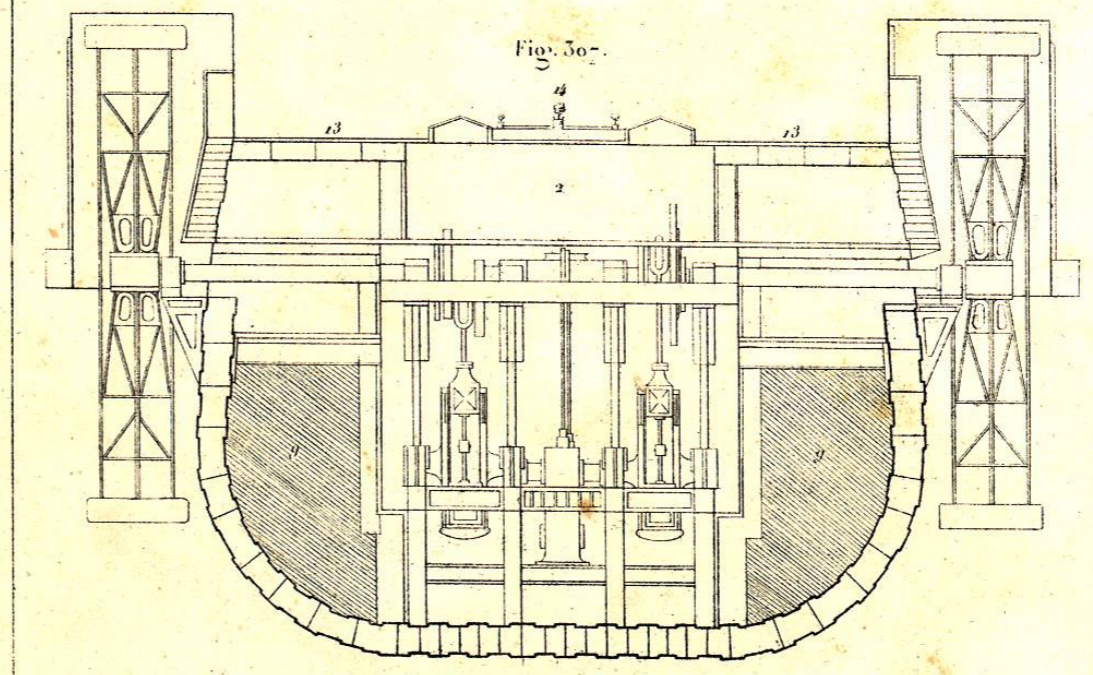


Fig. 300.

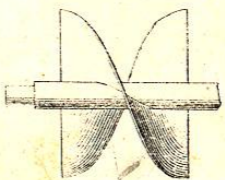


Fig. 301.

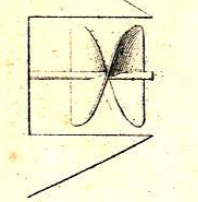


Fig. 302.

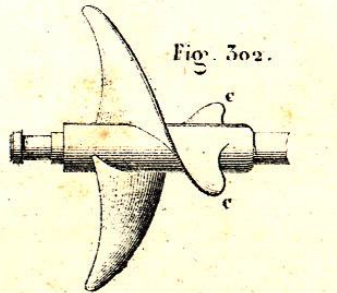


Fig. 303.

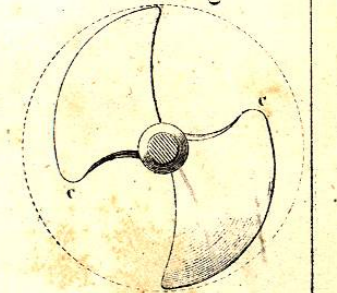


Fig. 304.

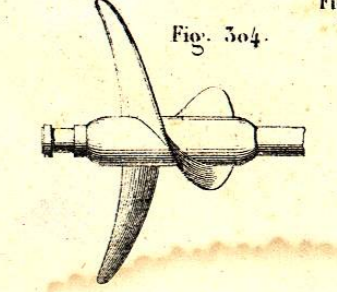


Fig. 305.

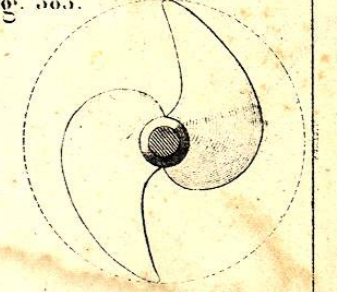


Fig. 306.

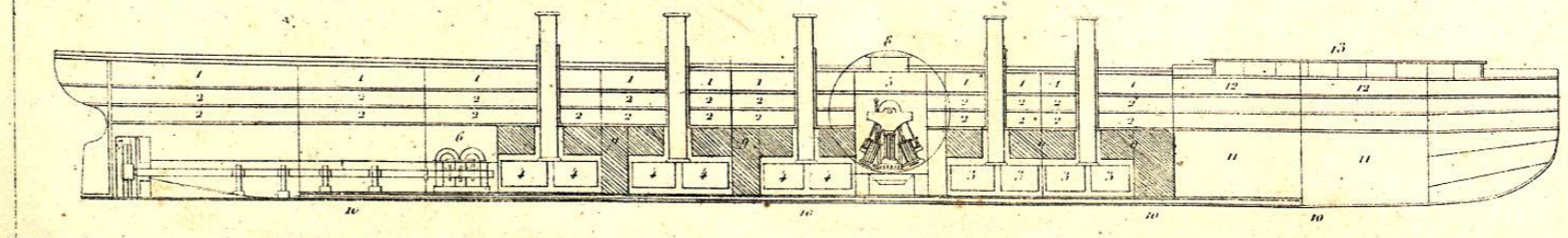




Fig. 510. SISTEMA DE STEPHENSON (1825) (La explicación al principio del atlas.)

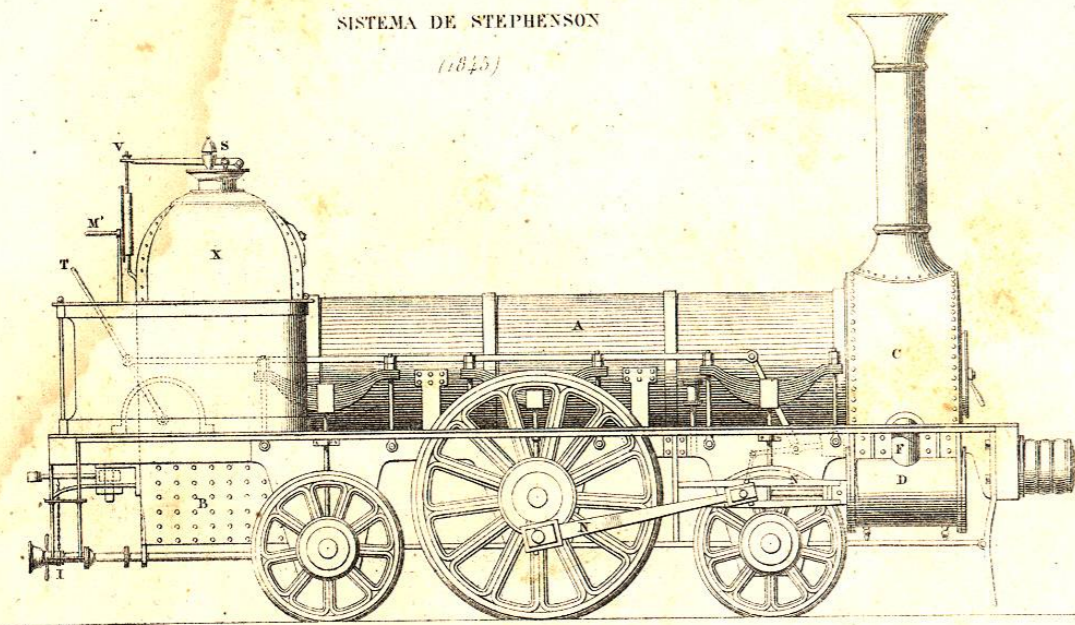
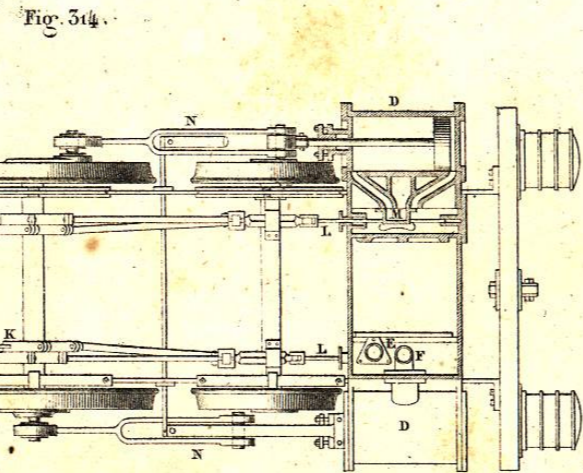
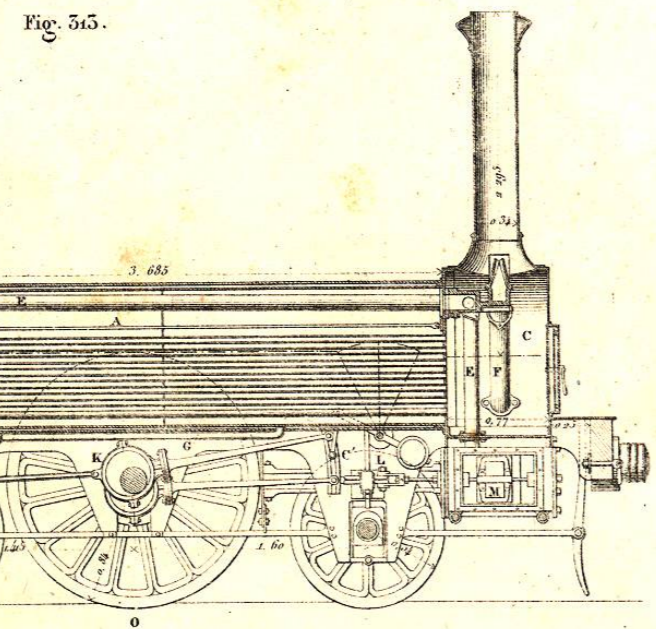
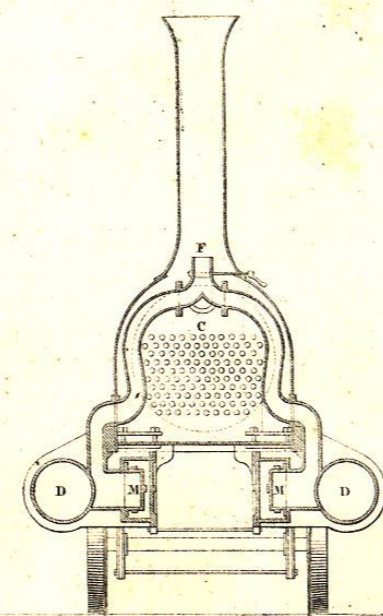
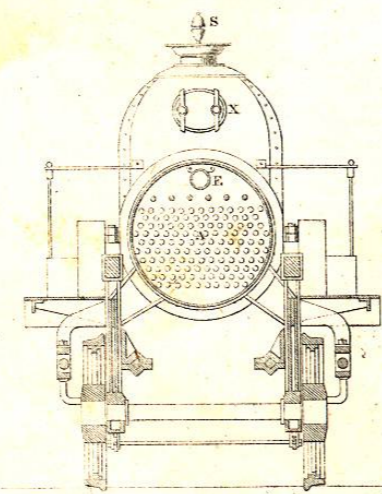


Fig. 511. Fig. 512.



Escala de 50.

Fig. 516. SISTEMA DE POLONCEAU para mercancías (1841) (La explicación al principio del atlas.)

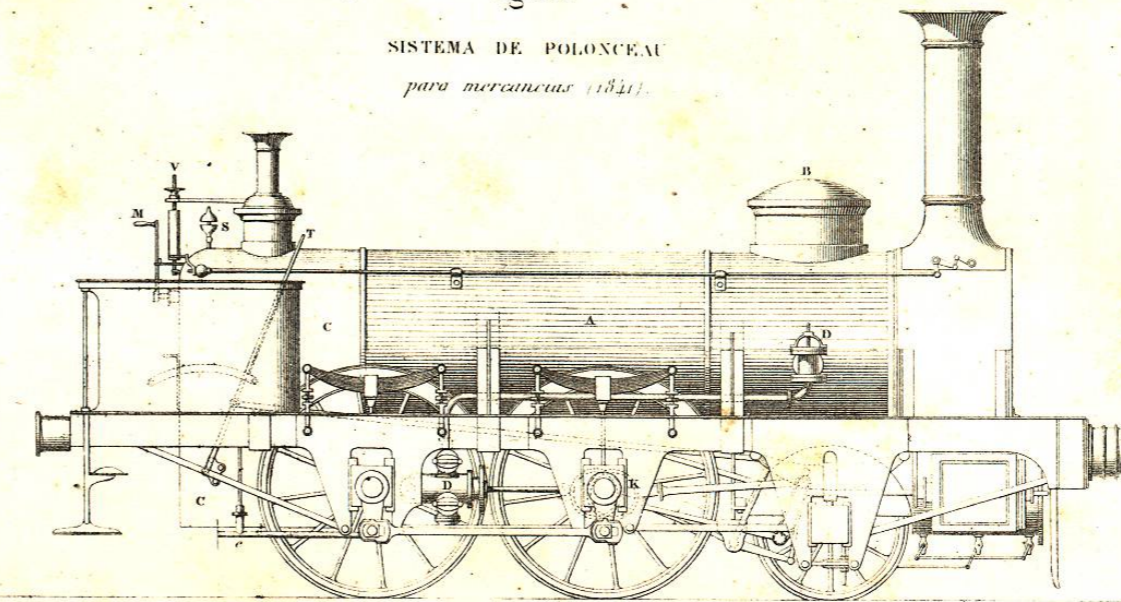
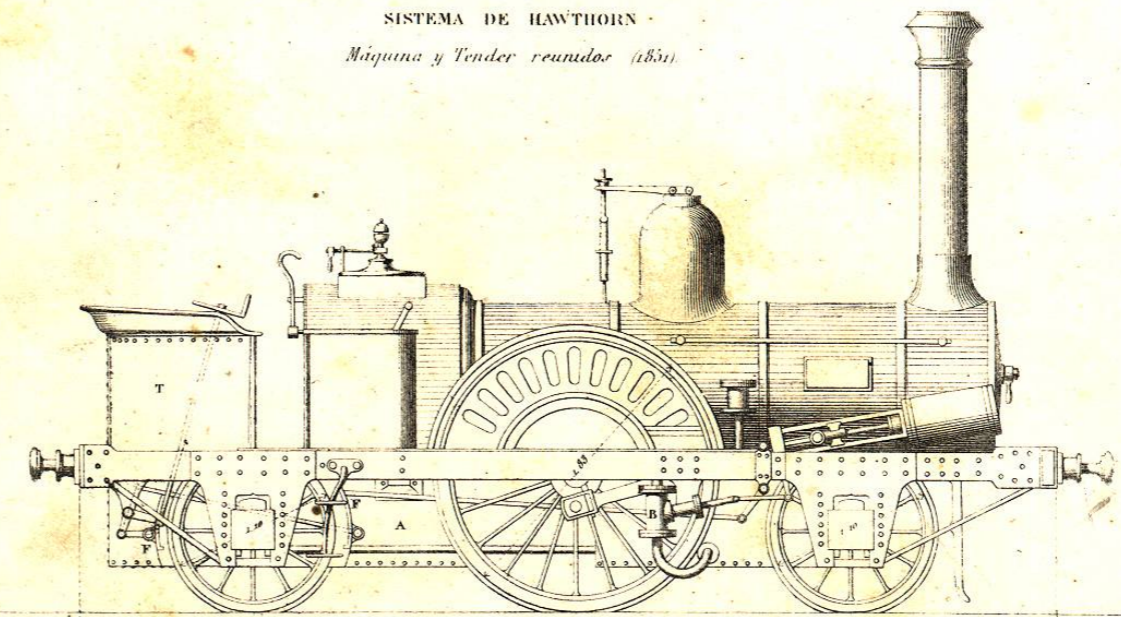


Fig. 517. SISTEMA DE HAWTHORN Máquina y Tender reunidos (1851)



Escala de 50.

Fig. 517. TENDER

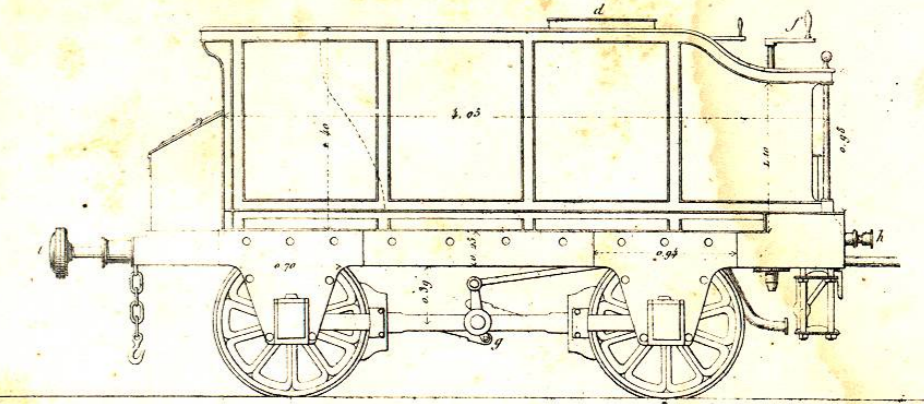
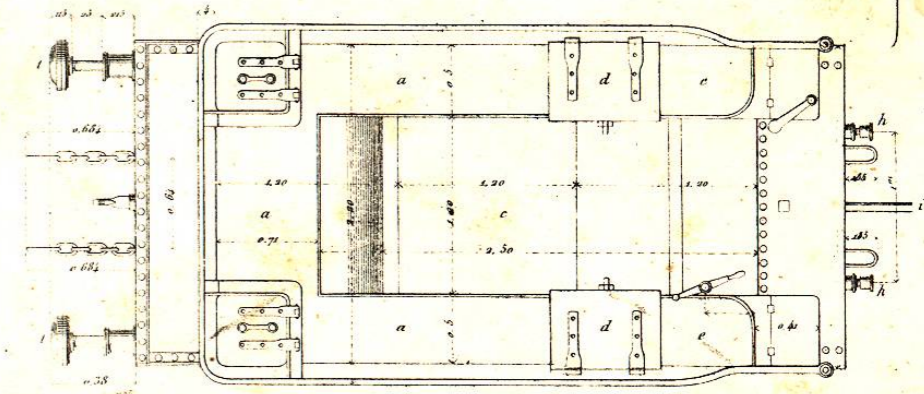


Fig. 518.



Freno.

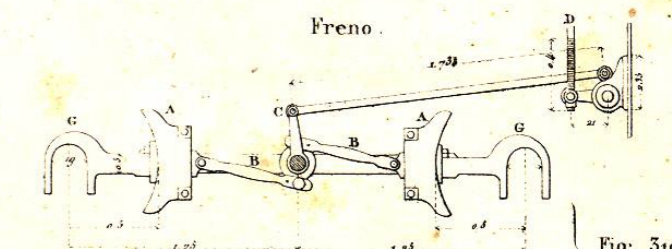
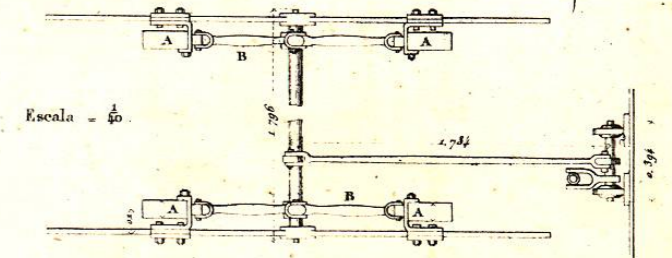


Fig. 519.

Escala = 50.





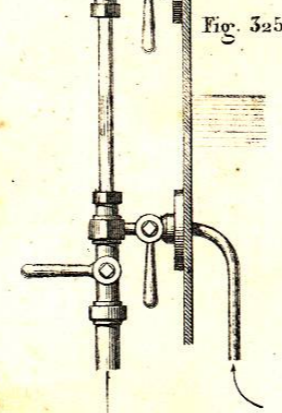
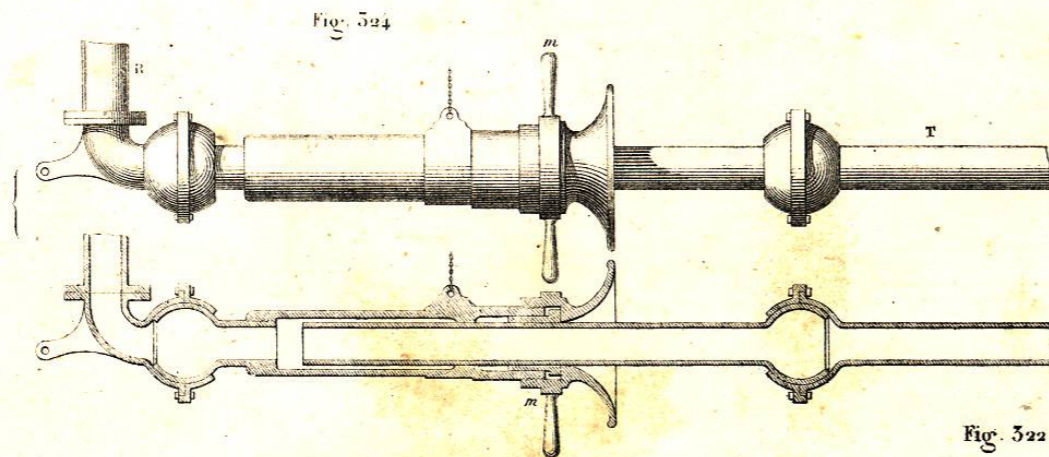
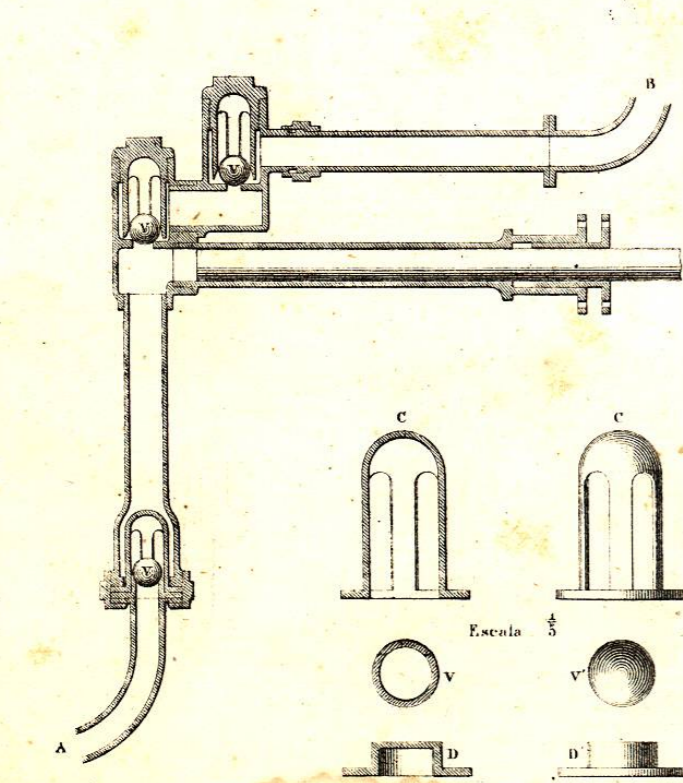
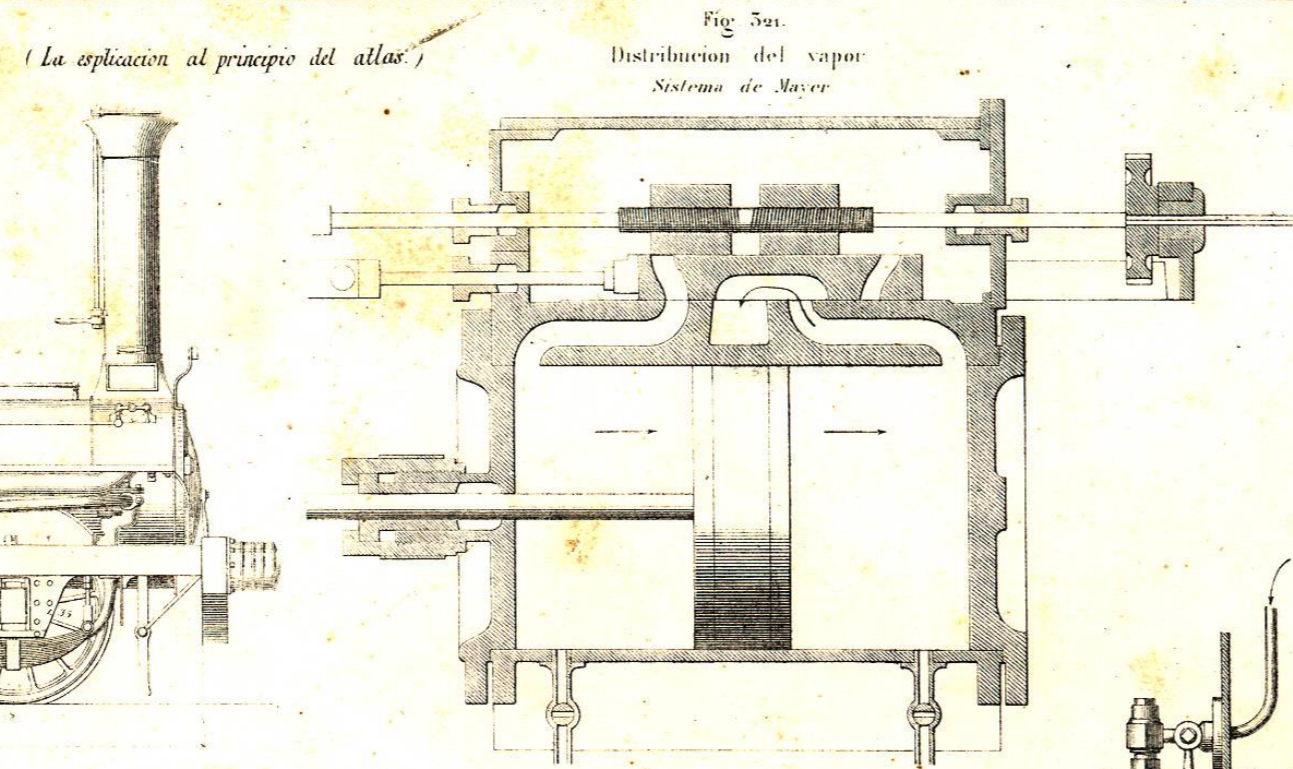
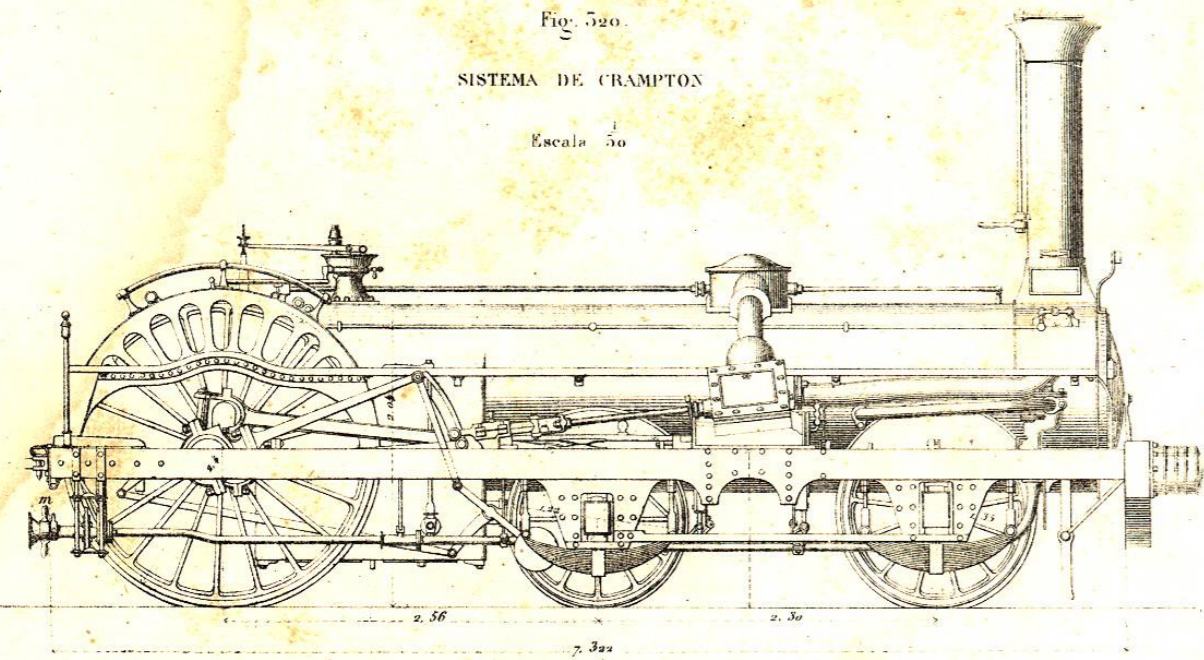


Fig. 525.

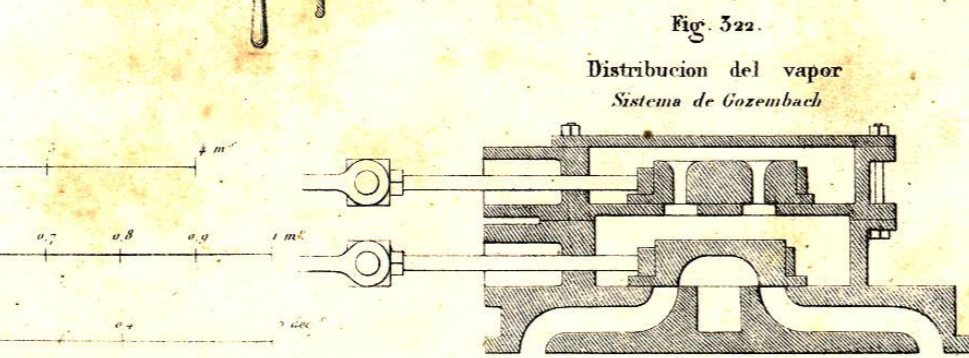
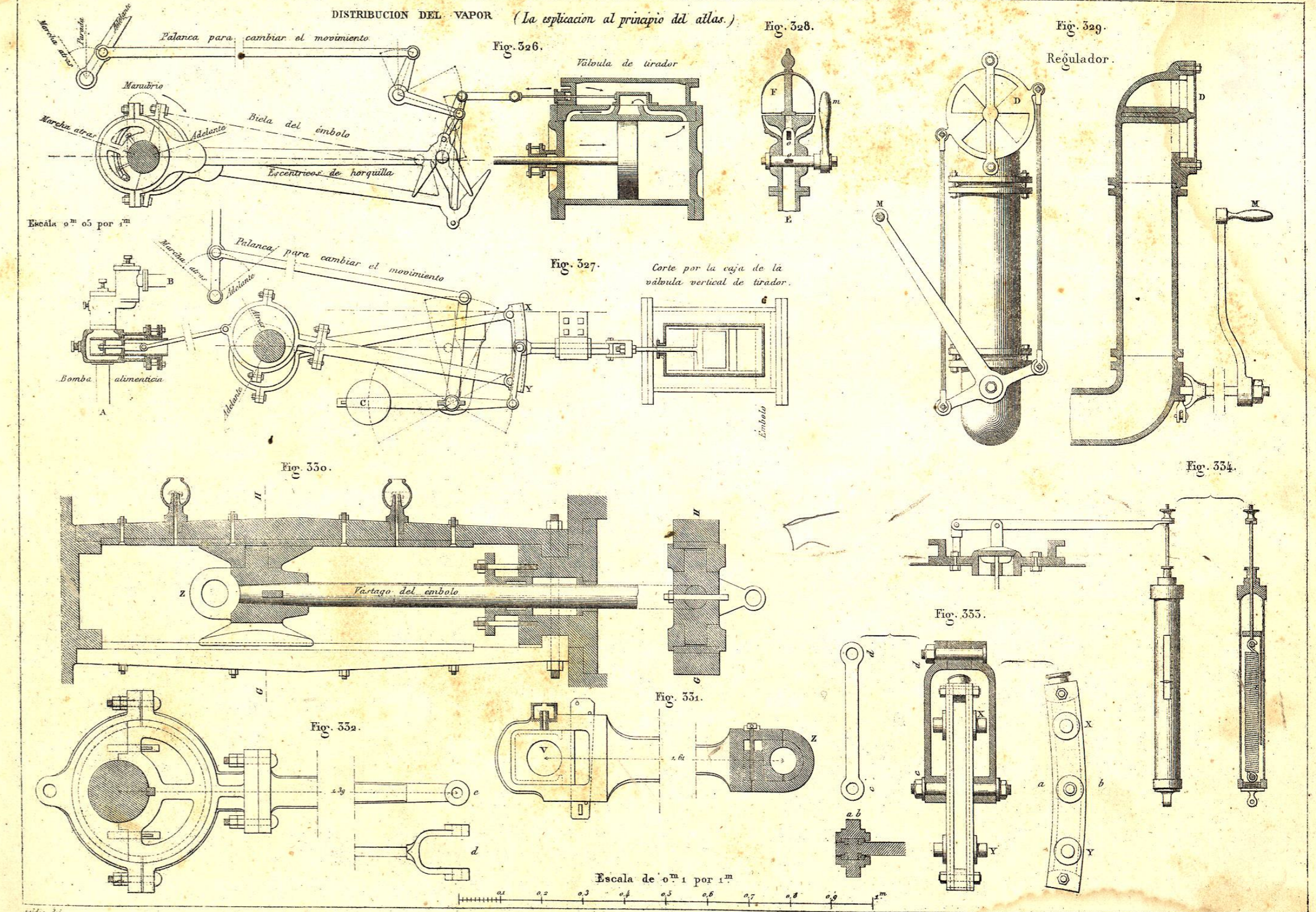
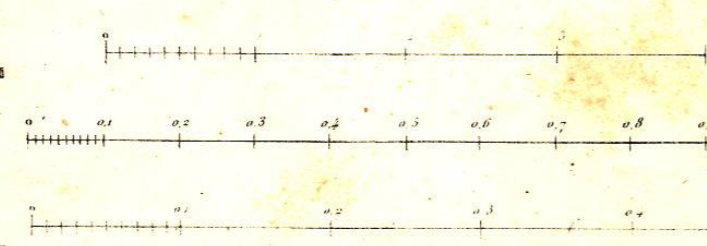


Fig. 522. Distribucion del vapor Sistema de Gozembach.



DISTRIBUCION DEL VAPOR (La explicacion al principio del atlas.)

Fig. 526.

Fig. 528.

Fig. 529.

Fig. 527.

Fig. 530.

Fig. 531.

Fig. 532.

Fig. 533.

Fig. 534.

Escala de 0.01 por 1.00